

УДК 622.232.7

ИМИТАЦИОННАЯ МАТЕМАТИЧЕСКАЯ МОДЕЛЬ ДИНАМИЧЕСКИХ ПРОЦЕССОВ ОЧИСТНЫХ КОМБАЙНОВ ВЫСОКОЙ ЭНЕРГОВООРУЖЕННОСТИ С ВЫНЕСЕННОЙ СИСТЕМОЙ ПОДАЧИ

Кондрахин В.П., докт. техн. наук., проф.,
Гуляев В.Г., докт. техн. наук., проф., ДонНТУ,
Головин В.Л. инженер, ГП «Донгипроуглемаш»

Разработана математическая модель для прогнозирования динамических нагрузок очистного комбайна высокой энергооруженности с вынесенной системой подачи при высокоинтенсивных режимах работы.

The mathematical model for prediction of the dynamic loads of the high power-to-weight ratio cutter-loader with an outboard haulage system when operating under high-intensity conditions was developed.

Проблема и ее связь с научными и практическими задачами.

Существующие имитационные математические модели (ММ), адекватность которых подтверждена результатами экспериментальных исследований, позволяют решать задачи оптимизации очистных комбайнов (ОК) на всех этапах их создания и в различных режимах работы. Эти ММ основываются на фундаментальных методологических положениях теории работы очистных комбайнов как сложных нелинейных динамических систем, подверженных действию детерминированных и случайных возмущений.

Следует сказать, что указанные ММ создавались для комбайнов, компоновочные схемы, конструкция и параметры которых не в полной мере соответствуют современным требованиям. За последние годы институтом ГП “Донгипроуглемаш” на базе машиностроительного завода ЗАО “Горловский машиностроитель” создан целый ряд добывчих комбайнов современного технического уровня [1] для широкого спектра горно-геологических условий (УКД200-250, УКД300, КДК500 и др.). Для этих машин характерна увеличенная в 2-3 раза энергооруженность по сравнению с серийными комбайнами, что обуславливает интенсификацию их рабочих режимов, проявляющуюся в интенсивных колебаниях корпусной и других подсистем.

Известные ММ могут быть успешно использованы для структурно-параметрической оптимизации новых комбайнов только после

их уточнения, корректировки и дальнейшего совершенствования. Поэтому разработка и адаптация ММ применительно к ОК современного технического уровня, в частности для широко распространенного комбайна УКД200-250 (на шахтах Украины и России в 2006 году работало 16 таких машин) с вынесенной системой перемещения, является актуальной проблемой.

Анализ исследований и публикаций. Исследованиям, изучению, анализу и оптимизации рабочих процессов ОК посвящено значительное количество научных работ. Для решения рассматриваемой проблемы особый интерес представляют исследования в области динамики и устойчивости ОК с вынесенной системой подачи [2], специфических условий работы шнековых исполнительных органов для отработки тонких пластов [3]. При этом достаточно широко могут быть использованы разработанные и апробированные подходы при создании ММ для описания различных процессов функционирования комбайнов [4, 5, 6 и др.].

Постановка задачи. Задачей настоящей работы является разработка имитационной математической модели, комплексно описывающей процессы функционирования очистного комбайна с вынесенной системой подачи типа УКД200-250 при высокointенсивных режимах работы.

Изложение материала и результаты. При разработке имитационной ММ важно обеспечить ее максимально достижимое соответствие реальным (как установившимся, так и переходным) процессам функционирования ОК. Особенность данной ММ состоит в том, что в ней впервые комплексно учитываются все основные факторы, имеющие важное значение при моделировании высокointенсивных режимов работы системы «ОК для выемки тонких пластов – забой»:

- внешние связи в системе «ОК – забой», причем для нахождения мгновенной толщины стружки на каждом резце использована математическая модель, учитывающая осевые перемещения исполнительного органа [7];

- перемещения корпусной подсистемы комбайна по всем 6-ти степеням свободы и ее внутренние динамические связи с подсистемой подвески и регулирования исполнительных органов;

- сопротивление от погрузки угля шнековыми исполнительными органами;

- переходные электромагнитные процессы в приводном электродвигателе с использованием уравнений Парка-Горева [8].

При разработке модели использован апробированный метод моделирования мгновенных значений проекций вектора внешних возмущений (ВВВ) от разрушения пласта [4].

Сопротивление от погрузки угля очистными комбайнами для тонких пластов играет важную роль в формировании нагрузок комбайна, поскольку процесс выноса продуктов разрушения из призабойного пространства и их погрузки на конвейер происходит в силовом режиме. При этом определение силовых и энергетических параметров комбайна производится с учетом следующих составляющих ВВВ от погрузки [3]:

$$\begin{aligned} F_{X\pi} &= F_{H\pi} [f_L \cos(NX) + \sin(NX)]; \\ F_{Y\pi} &= F_{H\pi} [f_L \sin(NX) - \cos(NX)]; \\ F_{Z\pi} &= F_{H\pi} f_L \operatorname{sign} V_K; \\ M_{X\pi} &= F_{Z\pi} [B_3 - b_D - 0,5 \frac{d}{d\varphi} f(d, \varphi) \varphi]; \\ M_{Y\pi} &= 0,5 D_{CP} [F_{X\pi} + f_T p_6 S_T(\varphi)]; \\ M_{Z\pi} &= 0,5 D_{CP} F_{Y\pi}; \end{aligned} \quad (1)$$

где f_L, f_T - коэффициенты трения угля, соответственно, о лопасть и трубу шнека;

$F_{H\pi}$ - нормальная к лопастям шнека сила, Н;

V_K - скорость качания шнека в вертикальной плоскости, м/с;

D_{CP} - средний диаметр шнека, м;

B_3, b_D - ширина захвата шнека и его отрезного диска, м;

$f(d, \varphi) \varphi$ - уравнение винтовой линии лопасти на диаметре d ;

p_6 - боковое давление угля на соприкасающиеся поверхности, Па;

$S_T(\varphi)$ - площадь активного соприкосновения выгружаемого угля с трубой шнека, м^2 .

На рис. 1 представлена эквивалентная расчетная схема, для математического описания которой использованы системы координат – основная ($OXYZ$) и две вспомогательные ($O'X'Y'Z'$ и $O''X''Y''Z''$). Начало отсчета основной системы лежит на середине опорной базы ОК (по координате x), а его координаты y и z совпадают с соответствующими координатами центра масс комбайна. Начала координат вспомогательных систем лежат на осях шарнирных соединений основных и поворотных редукторов в точке их пересечения с завальной плоско-

стю корпуса машини. На схеме указаны положительные направления обобщенных координат q_s , центры масс O_i составных частей комбайна, направление скорости подачи V_n .

Для составления дифференциальных уравнений, описывающих динамические процессы в указанной автономной системе, воспользуемся уравнениями Лагранжа II рода для системы со стационарными связями:

$$\frac{d}{dt} \left(\frac{\dot{q}_s}{\frac{d}{dq_s}} \right) + \frac{d\Phi}{dq_s} + \frac{d\Pi}{dq_s} = Q_s + R_s; \quad (2)$$

где R_s – реакции неголономных связей;

q_s , Q_s – соответственно обобщенная координата и обобщенная сила с порядковым номером $s=1\dots11$;

q_1 – перемещение центра масс ОК вдоль конвейера (по оси ОХ);

q_2 – перемещение центра масс ОК по нормали к конвейеру (по оси ОZ);

q_3 – перемещение центра масс ОК вдоль оси ОY;

q_4 – угловое перемещение ОК (“потаптывание”) относительно оси ОХ;

q_5 – угловое перемещение ОК (“рыскание”) относительно оси ОZ;

q_6 – угловое перемещение ОК (“галопирование”) относительно оси ОY;

q_7 – угловое перемещение левого поворотного редуктора относительно оси О^{II}Y^{II};

q_8 – угловое перемещение правого поворотного редуктора относительно оси О^IY^I;

q_9 – угловое перемещение левого шнека относительно оси приводного вала;

q_{10} – угловое перемещение правого шнека относительно оси приводного вала;

q_{11} – угловое перемещение сосредоточенной массы ротора ЭД;

T , Π – кинетическая и потенциальная энергия системы;

Φ – диссипативная функция системы.

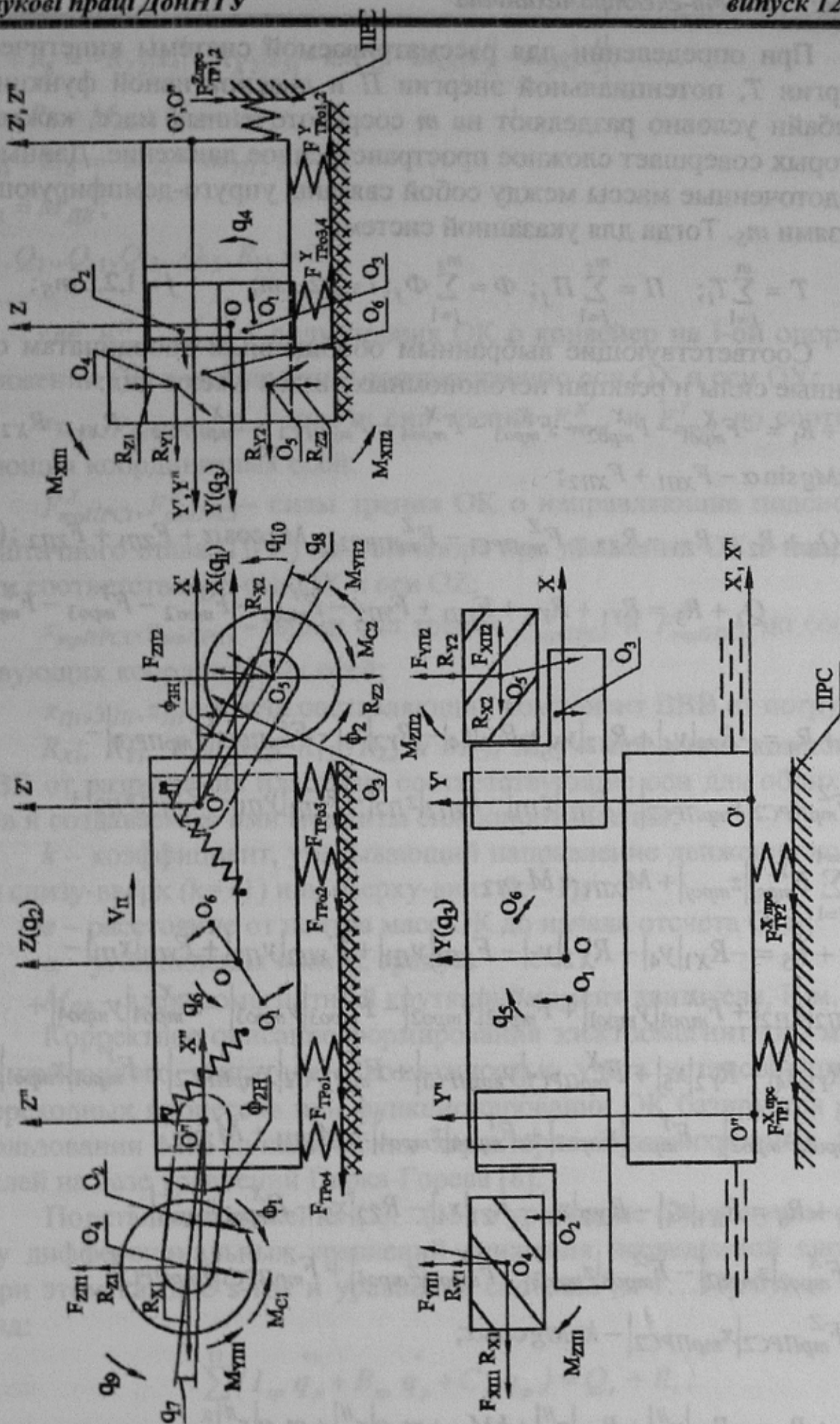


Рисунок 1. Еквивалентна расчетна схема ОК с винесеною системою перемещення (ВСП)

При определении для рассматриваемой системы кинетической энергии T , потенциальной энергии Π и диссипативной функции Φ комбайн условно разделяют на m сосредоточенных масс, каждая из которых совершает сложное пространственное движение. Данные сосредоточенные массы между собой связаны упруго-демпфирующими связями m_s . Тогда для указанной системы:

$$T = \sum_{i=1}^m T_i; \quad \Pi = \sum_{j=1}^{m_s} \Pi_j; \quad \Phi = \sum_{j=1}^{m_s} \Phi_j; \quad i = 1, 2, \dots, m; \quad j = 1, 2, \dots, m_s; \quad (3)$$

Соответствующие выбранным обобщенным координатам обобщенные силы и реакции неголономных связей имеют вид:

$$\begin{aligned} Q_1 + R_1 &= -F_{mpol}^X - F_{mpo2}^X - F_{mpo3}^X - F_{mpo4}^X - F_{mpPPC1}^X - F_{mpPPC2}^X - R_{X1} - R_{X2} - \\ &- kMg \sin \alpha - F_{X\pi 1} + F_{X\pi 2}; \end{aligned} \quad (4)$$

$$Q_2 + R_2 = R_{Z1} - R_{Z2} - F_{mpPPC1}^Z - F_{mpPPC2}^Z - Mg \cos \alpha + F_{Z\pi 1} + F_{Z\pi 2}; \quad (5)$$

$$Q_3 + R_3 = R_{Y1} + R_{Y2} + F_{Y\pi 1} + F_{Y\pi 2} - F_{mpol}^Y - F_{mpo2}^Y - F_{mpo3}^Y - F_{mpo4}^Y; \quad (6)$$

$$\begin{aligned} Q_4 + R_4 &= -R_{Z1}|y_4| + R_{Z2}|y_5| + R_{Y1}|z_4| - R_{Y2}|z_5| - F_{mpPPC1}^Z|y_{mpPPC1}| - \\ &- F_{mpPPC2}^Z|y_{mpPPC2}| + F_{Y\pi 1}|z_{\pi 1}| - F_{Y\pi 2}|z_{\pi 2}| - F_{Z\pi 1}|y_{\pi 1}| - F_{Z\pi 2}|y_{\pi 2}| + \end{aligned} \quad (7)$$

$$\begin{aligned} &+ \sum_{j=1}^{n=4} F_{mpoj}^Y|z_{mpoj}| + M_{X\pi 1} + M_{X\pi 2} \\ Q_5 + R_5 &= -R_{X1}|y_4| - R_{X2}|y_5| - F_{X\pi 1}|y_{\pi 1}| + F_{X\pi 2}|y_{\pi 2}| + F_{Y\pi 1}|x_{\pi 1}| - \\ &- F_{Y\pi 2}|x_{\pi 2}| + F_{mpol}^X|y_{mpol}| + F_{mpo2}^X|y_{mpo2}| - F_{mpo3}^X|y_{mpo3}| - F_{mpo4}^X|y_{mpo4}| + \\ &+ R_{Y1}|x_4| - R_{Y2}|x_5| + F_{mpPPC1}^X|y_{mpPPC1}| + F_{mpPPC2}^X|y_{mpPPC2}| - F_{mpol}^Y|x_{mpol}| + \\ &F_{mpo2}^Y|x_{mpo2}| - F_{mpo3}^Y|x_{mpo3}| + F_{mpo4}^Y|x_{mpo4}| + M_{Z\pi 1} + M_{Z\pi 2} \end{aligned} \quad (8)$$

$$\begin{aligned} Q_6 + R_6 &= R_{X1}|z_4| - R_{X2}|z_5| - R_{Z1}|x_4| - R_{Z2}|x_5| - F_{mpol}^X|z_{mpol}| - \\ &- F_{mpo2}^X|z_{mpo2}| - F_{mpo3}^X|z_{mpo3}| - F_{mpo4}^X|z_{mpo4}| + F_{mpPPC1}^Z|x_{mpPPC1}| - \\ &- F_{mpPPC2}^Z|x_{mpPPC2}| - keMg \cos \alpha; \end{aligned} \quad (9)$$

$$Q_7 + R_7 = -R_{Z1}|x_4''| + R_{X1}|z_4''| + kM_{c1} + m_2 g|x_2''| + m_4 g|x_4''|; \quad (10)$$

$$Q_8 + R_8 = -R_{Z2} |x'_5| - R_{X2} |z'_5| - kM_{c2} - m_3 g |x'_3| - m_5 g |x'_5|; \quad (11)$$

$$Q_9 + R_9 = M_{c1} + M_{y\pi 1}; \quad (12)$$

$$Q_{10} + R_{10} = -M_{c2} + M_{y\pi 2}; \quad (13)$$

$$R_{11} = M_{\text{дв}}; \quad (14)$$

$$Q_4, Q_7 \dots Q_{11}, Q_{13} \dots Q_{15}, R_{11} = 0; \quad (15)$$

где F_{mpoi}^X, F_{mpoi}^Y – силы трения ОК о конвейер на i-ой опоре при движении ОК в направлении соответственно оси OX и оси OY;

$x_{mpoi}, y_{mpoi}, z_{mpoi}$, – плечи сил трения F_{mpoi}^X и F_{mpoi}^Y до соответствующих координатных осей;

$F_{mp\text{PPC}i}^X, F_{mp\text{PPC}i}^Z$ – силы трения ОК о направляющие подсистемы решетчатого става (ПРС) на i-ой опоре при движении ОК в направлении соответственно оси OX и оси OZ;

$x_{mp\text{PPC}i}, y_{mp\text{PPC}i}$ – плечи сил трения $F_{mp\text{PPC}i}^X$ и $F_{mp\text{PPC}i}^Z$ до соответствующих координатных осей;

x_{Pi}, y_{Pi}, z_{Pi} – плечи составляющих компонент ВВВ от погрузки;

$R_{xi}, R_{yi}, R_{zi}, R_{x2}, R_{y2}, R_{z2}$ и M_{ci}, M_{c2} – проекции компоненты ВВВ от разрушения пласта на соответствующие оси для обоих шнеков и создаваемые ими моменты сил сопротивления;

k – коэффициент, учитывающий направление движения комбайна снизу-вверх ($k=+1$) или сверху-вниз ($k=-1$);

e – расстояние от центра масс ОК до начала отсчета О, м;

α – угол падения пласта, градус;

$M_{\text{дв}}$ – электромагнитный крутящий момент двигателя, Н·м.

Корректное описание формирования электромагнитного момента приводного двигателя с возможностью учета установившихся и переходных процессов при функционировании ОК базируется на использовании ММ динамических характеристик асинхронных двигателей на базе уравнений Парка-Горева [8].

Подставив выражения (3)...(15) в уравнение (2), получим систему дифференциальных уравнений движения исследуемой системы. При этом каждое s-тое и уравнение системы ($s=1\dots 11$) будет иметь вид:

$$\sum_{p=1}^n (I_{sp} \ddot{q}_p + B_{sp} \dot{q}_p + C_{sp} q_p) = Q_s + R_s; \quad (16)$$

где p – порядковый номер обобщенных координат и их производных, $p=1\dots11$;

I_{sp} , B_{sp} , C_{sp} – коэффициенты, отражающие соответственно инерционные, диссипативные и упругие характеристики исследуемой системы.

Выводы и направление дальнейших исследований.

Разработанная математическая модель процесса функционирования очистного комбайна с вынесенной системой подачи впервые комплексно учитывает все основные факторы, определяющие интенсивные рабочие режимы комбайна, в том числе осевые перемещения исполнительных органов. Полученная модель является модельной основой для САПР очистных комбайнов с вынесенной системой перемещения и будет использована для оптимизации структуры и параметров шнековых исполнительных органов и других подсистем машины.

Список источников.

1. Стадник Н.И., Бойко Г.Г., Рябченко А.С. Очистные комбайны УКД200 и УКД300 для эффективной отработки тонких пластов // Уголь Украины. – №9 – 2003 г. – с.19-22.
2. Бойко Н.Г. Динамика очистных комбайнов. – Донецьк: РВА ДонНТУ, 2004. – 206 с.
3. Бойко Н.Г., Болтян А.В., Шевцов В.Г., Марков Н.А. Исполнительные органы очистных комбайнов для тонких пологих пластов // Донецк, “Донеччина”, 1996. – 223 с.
4. Моделирование разрушения углей режущими инструментами. / Отв. ред. Ю.Д. Красников- М.: Наука, 1981. – 181 с.
5. Докукин А.В., Красников Ю.Д., Хургин З.Я. Статистическая динамика горных машин // М., “Машиностроение”, 1978. – 239 с.
6. Гуляев В.Г., Жуков К.В. Метод формирования математической модели функционирования системы “очистной комбайн – забой” // Проблеми експлуатації обладнання шахтних стаціонарних установок: Збірник наукових праць. – Донецьк: ВАТ “НДІГМ імені М.М. Федорова”, 2003. – Вип. 96. – 233 с.
7. Кондрахин В.П., Головин В.Л. Математическая модель процесса стружкообразования, учитывающая осевые перемещения исполнительного органа горного комбайна. Наукові праці Донецького національного технічного університету. Серія: “Гірничо-електромеханічна”. Випуск 83. – Донецьк: ДонНТУ, 2004. – 306 с.
8. Гуляев В.Г., Сивокобыленко В.Ф., Жуков К.В. Математическая модель двухдвигательного привода исполнительных органов очистного комбайна // Труды Донецкого государственного технического университета. Серия горно-электромеханическая – Донецк:ДонГТУ. 1999. – Вып. 7. – С. 97-102.

Дата поступления статьи в редакцию: 24.10.06